

الفصل السابع

دراسة طبغرافية سطح الألياف بالتدخل الضوئي

Interferometric Determination of Fibre Surface Topography

استخدمت طرق التداخل الضوئي لفحص سطح المواد للتعرف على معالم وتفاصيل تضاريسها . وطبقت كل من طرق التداخل الضوئي الثنائي والمتعدد لإجراء هذا الفحص . وأجرى « تولانسكي Tolansky » ومجموعته (١٩٤٨ ، ١٩٥٢ ، ١٩٦٠) دراسة مكثفة لطبغرافية البلورات وكذلك سطح المعادن . واستخدمت في هذا المجال هدب التداخل الضوئي المتعدد محددة الموقع عند النهاز وعنده الانعكاس .

٧/١ - تطبيق هدب التداخل الضوئي المتعدد محددة الموقع النهاز لدراسة طبغرافية الأسطح :

Multiple-beam localised interference systems in transmission applied to surface topography :

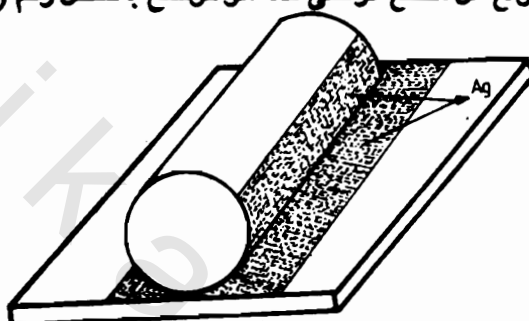
تم في الفصل السادس شرح النظام البصري المستخدم للحصول على هدب التداخل الضوئي المتعدد الذي طوره « تولانسكي Tolansky » لدراسة تضاريس سطح الأجسام الشفافة وهو نفس النظام الذي استخدم لتعيين معامل انكسار الألياف باستخدام طريقة التداخل الضوئي المتعدد عند النهاز فيما عدا طريقة تحويل مقياس التداخل الضوئي .

في حالة فحص الخواص الضوئية للألياف تغير الشعيرة في سائل موضوع بين مسطعين ضوئيين مفضفين يميل أحدهما على الآخر ، بينما في حالة دراسة طبغرافية سطح من مادة شفافة - كالألياف مثلا - فإن هدب فيزو للتداخل الضوئي المتعدد تتكون من الأشعة المنكسة من السطح المراد فحصه ومن سطح ضوئي يعتبر مرجعا .

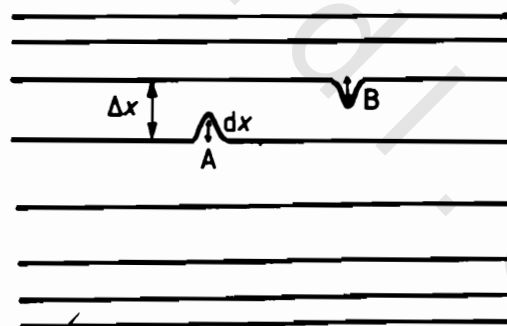
وتكون مجموعة الهدب هذه في مكان محدد في الفراغ يقع بالقرب من مقياس التداخل الضوئي ، ويغطي السطحان بطبقة من الفضة لها انعكاسية كبيرة ونفاذيتها جزئية ، وذلك بالتبخير الحراري للفضة عند ضغط منخفض (أقل من 10^{-5} تور) . وتوضع الشعيرة وكذلك

المسطح الضوئي بعد تقطيعها بطبقة من الفضة في حامل "Jig" لتكون مقياس التداخل الضوئي - شكل رقم (١/٧) - الذي يحصر شريحة من الهواء . ويكون هدب فينو للتداخل الضوئي عند النفاذ . وتظهر هذه الهدب على هيئة خطوط مستقيمة حادة مضيبة موازية لمحور الشعيرة . ويتناقض البعد بين كل هدبتين كلما بعدينا عن محور الشعيرة . وتظهر التفاصيل الدقيقة المكونة لطيفraphie سطح الشعيرة على شكل تعرجات في الهدب نتاج من الارتفاعات والانخفاضات الموجودة على سطح الشعيرة .

ويمكن تعين نصف قطر الشعيرة عند المقاطع العرضية المختلفة ، وذلك من البعد بين الهدب المتالية عند موقع كل مقطع عرضي كما هو موضح بالشكل رقم (٢/٧) .



شكل رقم (١/٧) : مقياس تداخل ضوئي لتعيين تضاريس سطح شعيرة باستخدام هدب التداخل الضوئي عند النفاذ



شكل رقم (٢/٧) : شكل هدب التداخل الضوئي المتعدد محددة الموقع ، تظهر على هيئة خطوط مستقيمة حادة مضيبة عند النفاذ وخطوط معتمة عند الانعكاس ، موازية لمحور الشعيرة . يتناقض البعد بين كل هدبتين متجاورتين كلما تحركتا بعيداً عن محور الشعيرة ، طبقاً لانحناء سطح الشعيرة . تمثل الإزاحة A ارتفاعاً على سطح الشعيرة إذ أنها في اتجاه زيادة فجوة مقياس التداخل B في حين أن الإزاحة B تتبع من انخفاض على سطح الشعيرة .

٢/٧ - تطبيق هدب التداخل الضوئي محددة الموقع عند الانعكاس لدراسة طبغرافية الأسطح

Multiple-beam localised interference systems at reflection applied to surface topography :

طبق « تولانسكي Tolansky » ومجموعته هدب فيزو للتداخل الضوئي المتعدد عند الانعكاس لفحص أسطح مجموعة متنوعة من البلورات التي تتضمن الميكا والسيلينيت والكوارتز للتعرف على معالم هذه الأسطح ومعالم النمو البلوري للبلورة كربيد السيليكون بقياس ارتفاع كل درجة من درجاتها ، وكذلك قياس أبعاد الحفر الناتجة عند أسطح الأجسام لتقدير صلابتها . ويشابه النظام البصري المستخدم في هذه الحالة النظام البصري الذي تم شرحه في الفصل الرابع فيما عدا تركيب مقياس التداخل الضوئي .

ويسدلرس الآن تكون مقياس التداخل الضوئي وهو من السطح المراد فحصه ومسطح ضوئي مفضض بحيث يمكن - باستخدام ميكروسكوب - رؤية منطقة معينة من السطح وهي في وضع أفقى بالنسبة للأشعة الساقطة على مقياس التداخل الضوئي . والمكون العلوى لمقياس التداخل الضوئي - كما ذكرنا - هو مسطح ضوئي يواجه الضوء الساقط ويغطي المكون الأول لهذا المقياس . أى المسطح المراد فحصه - بطبقة سميكة من الفضة ، بينما يغطي المكون الثانى - المسطح الضوئي - بطبقة رقيقة من الفضة انعكاسيتها $R \approx 70\%$ ونفاذيتها $T \approx 22\%$. ويضم المكونان مع بعضهما في حامل Jig مناسب ليكونا مقياس تداخل ضوئي يحصر شريحة هواء ، كما في الشكل رقم (٣/٧) .

ويستخدم ميكروسكوب للحظة هدب التداخل الضوئي المتكونة والمحددة الموقع وتكون شيئاً ميكروسكوب لها اتساع زاوي angular aperture مناسب لتجمع كل الأشعة المؤثرة الداخلة في تكوين الهدب . فإذا كان طول موجة الضوء في الهواء هو λ فإن الهدب المتكونة تظهر على شكل هدب حادة معتمة على خلفية مضيئة ترسم خريطة تصارييس السطح ، وهى نتيجة تقاطع مستويات توانى المسطح الضوئي الداخل في تكوين مقياس التداخل ، ويبعد كل مستوى عن مجاوره بمسافة تساوى $\lambda/2$ ، أى أن هدب التداخل الذى تظهر فى فى الواقع منحنيات تساوى سمل شريحة الهواء المحصور بين السطح المراد تسجيل تصارييسه والمسطح الضوئي . أى أنها تقع على مستوى وتكون مجموعة الهدب المغلقة التي لا تلتقط

عند الارتفاعات والانخفاضات ويتختلف البعد بين كل هدية وأخرى . وتعتمد المسافة بين كل هدبتيين متاليتين fringe spacing على زاوية ميل مكوني مقياس التداخل الضوئي . وتعتبر طبغرافية السطح المجهولة كميا بقياس مقدار الإزاحة الجانبية للهبة dx المقابلة للارتفاع h أو الانخفاض على سطح الشعيرة من المعادلة :

$$h = \Delta m (\lambda / 2) \quad (7.1)$$

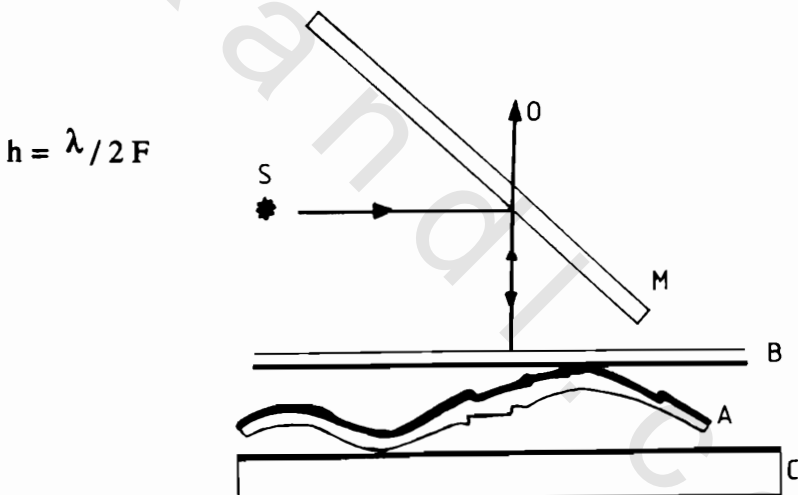
حيث :

$$\Delta m = (dx / \Delta x)$$

و Δx هي المسافة بين هدبتيين متاليتين ، كما في الشكل رقم (٢/٧)

. وبذلك يمكن تعين قيمة h بمعرفة Δm

وإذا كانت الانعكاسية عالية فإنه يمكن قياس تضاريس السطح ذات الارتفاعات الصغيرة جدا . وإزاحة الهبة التي تساوى نصف عرضها يمكن قياسها بسهولة وهي تقابل



شكل رقم (٢/٧) : مقياس التداخل لتعيين طبغرافية سطح بلوزة الميكا وفيه تظهر شريحة من الميكا تم انقلاقها حيثًا ومفചض أحد سطحاتها بطبقة سميكة ويمثل في الشكل A في حين أن المسطح الضوئي ويمثله B قد غطى بطبقة من الفضة نافذة جزئياً للضوء . وضعا بحيث يحصران شريحة رقيقة من الهواء ، وعند إضاءة المقياس تتكون هدب التداخل المتعدد عند الانعكاس . S يمثل حزمة متوازية من الأشعة وتحتها الطول الموجي M مجذى للأشعة ، O في اتجاه شبيبة микروسکوب والكاميرا .

وقيمة λ تساوى ٥٥٠٠ آنجلستروم والـ $F = h / 40$ ، تسلیٰ ٧٠ آنجلستروم تقريباً - Born and Wolf, ١٩٨٠ - ويتحدد شكل السطح ومايميزه من ارتفاعات وانخفاضات بملامحة اتجاه حركة الهب عند تغير المسافة بين مكوني مقياس التداخل الضوئي . وينطبق هذا على النظام البصري لتكون هدب التداخل الضوئي عند النهاز وعند الانعكاس . ففي الحالة الأولى يمكن التفريق بين مرتفع hill ومنخفض valley على السطح باستخدام أكثر من طول موجى . وتعتمد درجة القياسات على جودة quality هدب التداخل الضوئي .

وقد درس "Holden" (١٩٤٩) بعض البارامترات التي تحكم هدب فيزو للتداخل الضوئي عند الانعكاس ، وبذلك جعل هذه الطريقة مفيدة في كثير من التطبيقات . وأفاد أنه باستخدام تقطيعية بطبقة من الفضة انعكاسيتها عالية بينما درجة امتصاصها للضوء قليلة تكون هدب التداخل الضوئي عند الانعكاس أكثر حدة من الهدب المماثلة لها والناتجة من نهاز الأشعة . لكن الحد الأدنى للشدة الضوئية عند الانعكاس وتعتمد على امتصاص الطبقة الموجودة على مدخل مقياس التداخل الضوئي التي تواجه الشعاع الساقط . وفي الحقيقة فإن الخصائص الطورية الضوئية optical phase لهذه الطبقة أى قيمة F لها ، حيث :

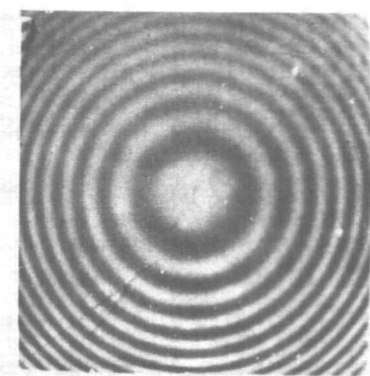
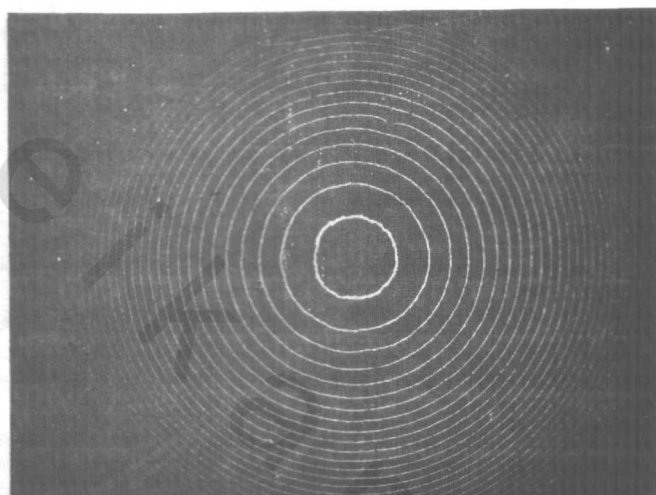
$$F = 2\gamma - (\beta_1 + \beta_2)$$

هي التي تحكم توزيع الشدة الضوئية في حالة هدب فيزو للتداخل الضوئي عند الانعكاس - حيث γ هي التغير في الطور عند نهاز الأشعة من الطبقة ، β_1 ، β_2 مما التغير في الطور للأشعة المنعكسة عند السطح الفاصل (الهواء - الطبقة) air-layer ومادة الدعامة أى الخلفية - الطبقة substrate-layer ، كما هو موضح في الفصل الرابع .

وقد استخدمت هدب التداخل الضوئي المتعدد متساوية الرتبة اللوبية multiple-beam وقد استخدمت هدب التداخل الضوئي المتعدد متساوية الرتبة اللوبية multiple-beam لفحص طيفرافية أسطح البلورات - ١٩٦٠ - Tolansky ، وتم في الفصل السادس شرح النظام البصري المستخدم .

والمقارنة بين نتيجة استخدام هدب التداخل الضوئي المتعدد وهدب التداخل الضوئي الثاني لتعيين التفاصيل الدقيقة لتضاريس الأسطح بين الشكلان (٧/٤ ، ب) خريطتين

لهدب التداخل الضوئي لسطح كرى من مادة شفافة باستخدام هدب التداخل الضوئي المتعدد النافذة وعند الانعكاس على الترتيب ، بينما يوضح الشكل رقم (٤/٧) الخريطة باستخدام هدب التداخل الضوئي الثنائى . ويتبين من هذه المقارنة أن هدب التداخل الضوئي المتعدد حادة جدا ودقيقة وتكشف عن التفاصيل الدقيقة على سطح الأشياء التى تفقد تماما فى حالة استخدام هدب التداخل الضوئي الثنائى .



جـ



بـ

شكل رقم (٤/٧) : (أ) هدب التداخل الضوئي المتعدد عند النفاذ ، (ب) هدب التداخل الضوئي المتعدد عند الانعكاس ، (جـ) هدب التداخل الضوئي الثنائى لنفس السطح الكرى المستخدم فى (أ) ، (بـ) .

٣/٧- استخدام ميكروسكوب التداخل الضوئي لدراسة طبغرافية أسطح الألياف

The application of interference microscopy to the study of surface topography.

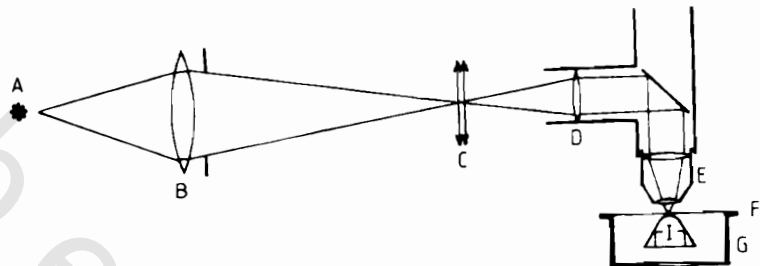
تم استخدام ميكروسكوب التداخل الضوئي في دراسة طبغرافية أسطح الألياف النسجية - Skretchly 1954, Howell and Mazur 1953, Simmens 1954 - وكذلك الألياف البصرية - Barakat et al. 1986 . وفي أحد هذه الدراسات طبق "Skretchly" (١٩٥٤) الطريقة التي طورها تولانسكي Tolansky (١٩٥٢) لدراسة معالم النمو البلوري وذلك لدراسة طبغرافية سطح بعض ألياف الكيراتين Keratin fibres . وفي هذه الطريقة الأخيرة تعالج الشعيرات أولاً بمحلول كندا بلسام Canda balsam . المذاب في البنزين وبعد تجفيف الشعيرات يكون هذا محلول طبقة رقيقة من هذه المادة . سمكها حوالي ٢ ميكرومتر - على الشعيرات ، ويتبع السطح الداخلي لهذه الطبقة تفاصيل الشكل الخارجي للشعيرة .

وتوضع شعيرة من هذه الألياف على شريحة زجاجية وثبتت من طرفيها بمادة لاصقة . ويستخدم ميكروسكوب وتوضع العينة في مكانها وتنصاء باستخدام ضوء أحادي طول الموجة، وتظهر في مجال رؤية الميكروскоп هدب التداخل الضوئي المكونة بالانعكاس . وتكون هذه الهدب بالتدخل الضوئي بين الأشعة المنعكسة عند سطحي الكندا بلسام ، ويعمل السطح الزجاجي كسطح مرجع . وفي هذه الحالة يستخدم الضوء المنعكس ولا يمكن له تأثير الشعيرة كعدسة أثر على التداخل الضوئي .

واستخدم " Howell and Mazur " (١٩٥٣) طريقة للحصول على حلقات نيوتن لدراسة موضع الالقاء contact areas وتهدف هذه الطريقة إلى دراسة الاحتكاك في الألياف .

كما وصف " Simmens " (١٩٥٤) طريقة مبسطة تقوم على التداخل الضوئي لفحص تضاريس سطح الألياف والفتائل filaments ، وبين الشكل رقم (٥/٧) النظام البصري المستخدم وهو يماثل النظام البصري المستخدم للحصول على حلقات نيوتن . وفي

طريقة Simmens يكون التداخل بين الأشعة المنعكسة من الشعيرية ومن سطح مرجع reference plate ، وتظهر الشعيرية محاطة بمجموعة من هدب التداخل الضوئي وهى تمثل منحنيات تساوى الارتفاع مقاسة من المستوى المرجع .



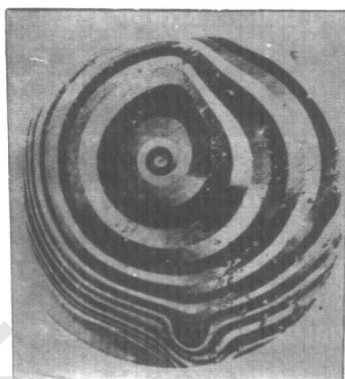
شكل رقم (٥/٧) : النظام البصري المستخدم لفحص طبقات اسطح الالياف (Simmens 1954) مصدر ضوئي أحادى طول الموجة ، B فتحة دائرية وعدسة مجتمعة تكون صورة للمصدر على فتحة مستطيلة C مجموعة ضوئية تشمل عدسة وسطحًا عاكسا وعدسة مجتمعة ، E شينية ميكروسكوب ، F دعامة ، I الشعيرية .

ويلاحظ أنه في جميع النظم البصرية التي تم شرحها في هذا الصدد تكون هدب تداخل ضوئي محددة الموقع localised fringes قريبة من مقياس التداخل الضوئي - سواء كانت عند النهاز أو عند الانعكاس أو باستخدام التداخل الضوئي الثاني أو المتعدد - وتكبر هذه الهدب وتسجل على فيلم حساس وتستخدم شينية الميكروسكوب ذات قوة تكبير صغيرة حتى يكن العمق البؤري depth of focus كافية لتكون الهدب محددة المعالم على امتداد مساحة مناسبة .

واستخدم ميكروسكوب التداخل الضوئي زايس - لنيك Zeiss-Linnik interference microscope (ZLIM) لتعيين تضاريس سطح الأجسام . وقد أعطيت في الفصل التاسع فكرة تقضيلية عن تركيب هذا الميكروسكوب ومسار الضوء فيه وطريقة تشغيله للحصول على هدب تداخل ضوئي ثانى ذات درجة تكبير عالية .

واستخدم «بركات Barakat» (١٩٦١) ميكروسكوب ZLIM لفحص معالم النمو الباللورى سطح بلورة كربيد السيليكون silicon carbide ، ويبين الشكل رقم (٦/٧) خريطة هدب التداخل الضوئي لمعالم النمو الباللورى الحلواني لأحد أسطح بلورة كربيد السيليكون -

Mitchell et al. ١٩٥٨ - وقد تم في النظام البصري المستخدم الحصول على هدب التداخل على هيئة منحنيات يرسمها الضوء تظهر معالم الحزون ويعطي الفرق بين الشدة الضوئية عند طبقتي حزون متتابعتي البعد الفراغي بينهما .



شكل رقم (٦/٧) : هدب التداخل الضوئي الثنائي التي تحبّط بمعالم النمو البلووي التي تظهر على سطح بلورة كربيد السيليكون في شكل حزون وذلك باستخدام مقياس التداخل لزاييس - لينك .

واستخدم "Barakat et al" (١٩٨٦) ميكروسكوب التداخل الضوئي زايس - لينك (ZLIM) لدراسة تضاريس سطح الألياف البصرية الملحومة بالانصهار fusion-spliced optical fibres . وتهدّف هذه الطريقة إلى مراقبة وفحص جودة عملية اللحام حيث يحتاج نظام التراسل الضوئي إلى استخدام طرق للحام ووصل الألياف وتعتبر كمية فقد في الشدة الضوئية الناتجة من عملية اللحام والوصل عاملًا هامًا في تكوين والحفاظ على كفاءة نظام التراسل الضوئي بالألياف البصرية ، حيث إن هذه العملية يمكن أن تؤثّر تأثيراً ملحوظاً في فقد في وصلات التراسل متعددة الكيلومترات .

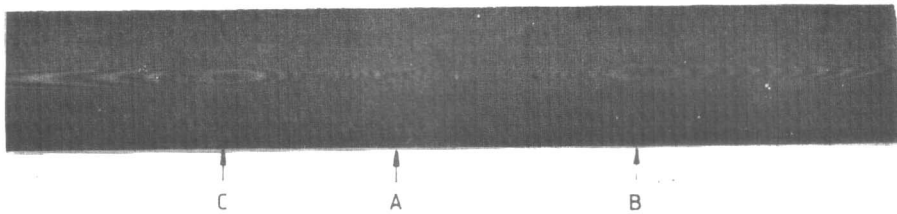
وقد اختيرت شعيرة من الألياف البصرية متدرجة معامل الانكسار GRIN قطر لها ٥٠ ميكرومتر وقطر قشرتها ١٢٥ ميكرومتر ، واستخدم جهاز اللحام بالانصهار Siecor M67 fusion splicer . وتم فصل الطبقة البلاستيكية الخارجية عند نهايتي الشعيرتين المطلوب لحامهما ، ثم نظفت هاتان النهايتان ، واستخدم قاطع للألياف fibre cutter لإجراء قطع مثالى لهاتين النهايتين . وأجرى انصهار مبدئي لهاتين النهايتين لإزالة الشوائب ثم تقرب من

بعضهما وتلهم . واستخدم ميكروسكوب التداخل الضوئي ZLM لتعيين تضاريس سطح الألياف بعد لحامها . ويتم التداخل بين الشعاعين المنعكسين أحدهما من مرآة مستوية تستخدم كمرجع reference plane mirror والشعاع الآخر منعكس من سطح الشعيرة المراد فحصها .

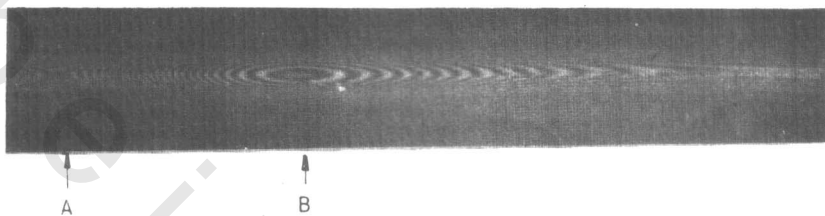
وتختار انعكاسية المرأة المرجع بحيث تكون مقاربة لانعكاسية الشعيرة واستخدم مصباح الثنائيوم كمصدر ضوئي أحادي اللون ذي طول موجة $\lambda = 532$ نانومتر . ويبعد أيضاً مصباح ضوئي أبيض ليحل محل المصدر أحادي طول الموجة وذلك لتكون هدب تداخل ضوئي بيضاء ذات رتبة منخفضة low-order white light fringes وتوضع الشعيرة الملحمومة في حامل "Jig" بحيث يكون الجزء المراد فحصه عمودياً على الضوء الساقط وبين الشكل رقم (7/7) خريطة هدب التداخل الضوئي للجزء الملحم من شعيرة متدرجة معامل الانكسار GRIN وتم الحصول على هذه الخريطة باستخدام ميكروسكوب التداخل الضوئي ZLM عند الطول الموجي $\lambda = 532$ نانومتر .

وتظهر مجموعتان من الهدب المغلقة Two-closed fringe systems على C, B عند A ، جانبى نقطة اللحام A نتيجة لتحبيب buckling مادة الشعيرة الناتج من عملية اللحام ، ويستنتج ارتفاع هذا التحبيب h من المعادلة رقم (1/7) بمعلومية Δn (عدد هدب التداخل الضوئي المحصورة بين A, B أو المحصورة بين C, A) ويضاف جزء آخر عند مركز الهدب . وكان ارتفاع التحبيب عند C, B مما $2.1, 6.7$ ميكرومتر على الترتيب بينما تبعد النقطتان B, C عن بعضهما مسافة 200 ميكرومتر .

وبين الشكل رقم (8/7) خريطة هدب التداخل الضوئي لجزء من شعيرة ملحم بدءاً بنقطة اللحام A مروراً بنقطة التحبيب عند B وتستمر الخريطة لتفطى الجزء البعيد عن نقطة اللحام unperturbed من الشعيرة ، حيث تظهر الهدب على هيئة خطوط مستقيمة موازية لمحور الشعيرة .



شكل رقم (٧/٧) : هدب التداخل الضوئي لوقع اللحام في شعيرة ضوئية متدرجة معامل انكسار لها (من Barakat et al. 1986)



شكل رقم (٨/٧) : هدب التداخل الضوئي لوقع اللحام لشعيرة ضوئية عند النقطة A ، وتظهر مجموعة من الهدب المقلقة عند النقطة B دلالة على وجود انتفاخ أو تحبيب لمادة الشعيرة عند موقع اللحام (من Barakat et al. 1986)

وقدم "Barakat et al. (١٩٨٦) في هذا البحث مقارنة بين متوسط الارتفاعات المكونة للتحديبات التي تنتج من عملية اللحام والفقد في شدة الأشعة النافذة المقابل لهذه التتحديبات . وينتزع عن هذه الدراسة أنه كلما زاد ارتفاع التحبيب يزيد فقد في شدة هذه الأشعة ، مع الأخذ في الاعتبار أن حجم التحبيب لابد أن يكون في حدود ميكرومتر واحد . وتسمح هدب التداخل الضوئي المستقيمة والموازية لمحور الشعيرة - والمكونة بواسطة الجزء الإسطوانى البعيد عن مناطق اللحام من الشعيرة - تسمح بتعيين قطر الشعيرة (d) على امتداد محور الشعيرة باستخدام المعادلة :

$$d = \left(D_m^2 / m \right) \left(\frac{1}{2\lambda} \right) \quad (7.2)$$

حيث D_m هي المسافة بين كل هدبتين مستقيمتين لهما نفس الرتبة m ومقسومة على تكبير الصورة وعين قطر الشعيرة من ميل الخط المستقيم الناتج من رسم العلاقة بين m , D_m^2 . وأعطت قيم قطر الشعيرة المحسوبة بهذه الطريقة درجة دقة تساوى ± 1 ميكرومتر عندما كان قطر الشعيرة حوالي ١٢٦ ميكرومتر .

References

- Barakat N 1961 *Zeiss-Mitteilungen (Heft. FRG.)* **6** 325
- Barakat N, El-Hennawi H A, Medhat M, Sobie M A and El-Diasti F 1986
Appl. Opt. **25** 3466
- Born M and Wolf E 1980 *Principles of Optics* (Oxford : Pergamon) p357
- Holden J 1949 *Proc. Phys. Soc. B* **62** 405
- Howell H G and Mazur J 1953 *J. Textile Inst.* **44** T59
- Mitchell P, Barakat N and El-Shazly E 1958 *Z. Kristallogr.* **III 1**
- Simmens S C 1954 *J. Textile Inst.* **45** T 569
- Skretchly A 1954 *J. Textile Inst.* **45** T 78
- Tolansky S 1984 *Multiple-Beam Interferometry of Surfaces and Films*
(Oxford : Clarendon)
- 1952 *Nature* **170** 4315
- 1960 *Surface Microtopography* (London : Longmans, Green)